

Dynamical completions
of generalized O'Rourke-tough models

Lorenzo Di Pietro
(SISSA)

01-06-2012

(based on 1111.2307 by M Bertolini, LDP, F Porru)

Dynamical Susy Breaking :

$$M_{\text{susy}} = e^{-\frac{8\pi}{\beta_0 g^2}} M_{UV} \ll M_{UV}$$

scala generata
dinamicamente dal

SETTORE NASCOSTO



(interazioni di
gauge del SM/
gravità)

SETTORE VISIBILE
(qualche SSM)

Modello di O'Raifeartaigh (generalizzato)

* esempio semplice di SUSY

* molti modelli di DSB gli somigliano nell'IR $\begin{bmatrix} \mathbb{I} & S & S & (2006) \\ \mathbb{I} & T & -\mathbb{I} & Y \\ & & & (1996) \end{bmatrix}$

* esempio "flessibile"

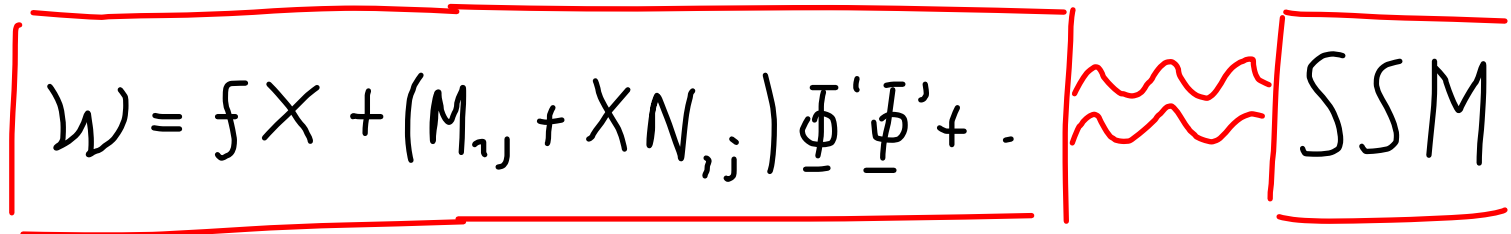
$$\mathcal{W} = fX + \sum_{i,j=1,\dots,n} (M_{ij} + X N_{ij}) \Phi^i \Phi^j + \mathcal{O}(\Phi^3)$$

$$\begin{cases} 0 = \partial_{\Phi^i} \mathcal{W} = 2(M_{ij} + X N_{ij}) \Phi^j + \mathcal{O}(\Phi^2) \\ 0 = \partial_X \mathcal{W} = f + N_{ij} \Phi^i \Phi^j \end{cases}$$

se non c'è soluzione \rightarrow SUSY

minimo del potenziale: $\langle \Phi \rangle = 0, \langle X \rangle$ qualsiasi
 $M_{\text{SUSY}}^2 \sim f$

Obiettivo:

$$\mathcal{W} = fX + (M_{ij} + XN_{ij}) \underline{\Phi}_i \underline{\Phi}'_j + .$$


SSM

DIRECT
GAUGE
MEDIATION

→ capire quali $\mathcal{O}'\mathcal{R}$ hanno buone caratteristiche
(condizioni su M & N)

→ cercare modelli di DSB che li ammettano
come limite di bassa energia

Genericamente: ~~SUSY~~ RICHIEDE $U(1)_R$ [Nelson Seiberg (1994)]

SENZA SIMMETRIE

$$\rightarrow \left. \begin{array}{l} \partial_x W = 0 \\ \partial_{\Phi_i} W = 0 \end{array} \right\} \begin{array}{l} n+1 \text{ eq} \\ \& \\ n+1 \text{ incognite} \end{array}$$

\Rightarrow SUSY

CON $U(1)$: $\Phi'_i = \Phi_m^{-\frac{q_i}{q_m}} \Phi_i$

$i = 1, \dots, m-1$

$$\rightarrow \left. \begin{array}{l} \partial_x W = 0 \\ \partial_{\Phi'_i} W = 0 \end{array} \right\} \begin{array}{l} n \text{ eq} \\ \& \\ n \text{ incognite} \end{array}$$

\Rightarrow SUSY

CON $U(1)_R$: $X' = \Phi_m^{-\frac{2}{R_m}} X$

$\Phi'_i = \Phi_m^{-\frac{R_i}{R_m}} \Phi_i$

$$\rightarrow \left. \begin{array}{l} \partial_{X'} W = 0 \\ \partial_{\Phi'_i} W = 0 \\ \& W = 0 \\ (\text{perch\u00e9 } R(W) = 2) \end{array} \right\} \begin{array}{l} n+1 \\ \text{eq} \& \\ n \text{ incognite} \end{array}$$

\Rightarrow ~~SUSY~~

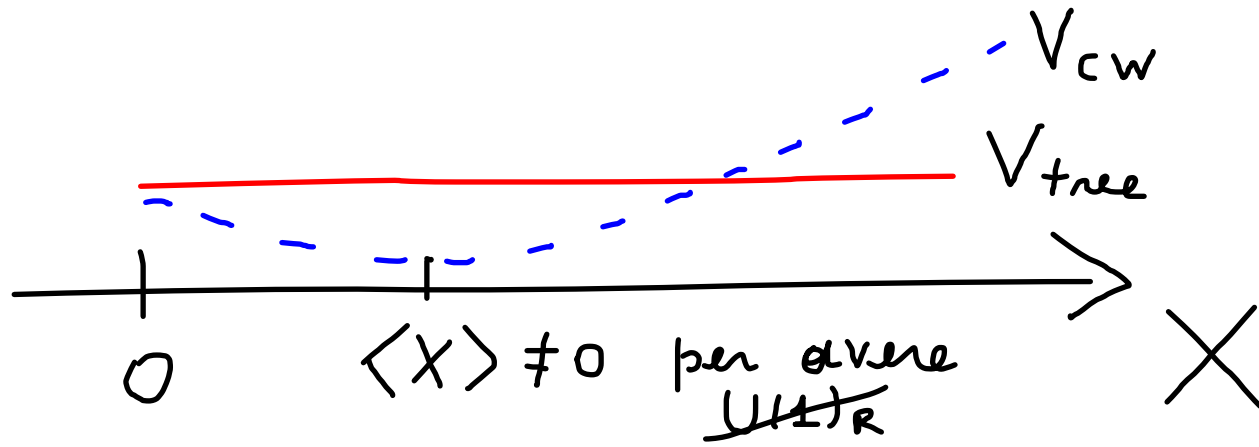
Problemi con $U(1)_R$

$$W = fX + (M_{ij} + XN_{ij}) \underline{\Phi}' \underline{\Phi}' + . \quad \text{SSM} \quad \text{DIRECT GAUGE MEDIATION}$$

$\hookrightarrow U(1)_R$ vieta una massa di Majorana o gaugini
($M \lambda \lambda + c.c.$)

I^o Richiesta vogliamo un $\mathcal{O}'R$ tale che
 ~~$U(1)_R$~~ spontaneamente

Vuoti SUSY : $\langle \Phi \rangle = 0$, $\langle X \rangle$ generico \rightsquigarrow pseudo-modulo
 al tree-level



Teorema di Shih:

[Shih (2007),
 Curtin, Komargodski,
 Shih, Tsou (2012)]

$R(\text{ogni campo}) \geq 0 \Rightarrow R$ NON rotta a 1 loop

ci serve $R(\text{qualche campo}) < 0$!

Gaugino Screening

anche $U(1)_R$ può non bastare per evitare

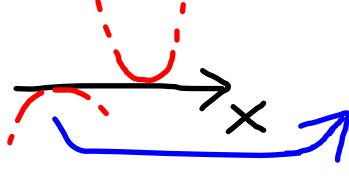
$$m_{\tilde{g}} \ll m_{\tilde{f}}$$

usando "analytic continuation into superspace"

$$m_{\tilde{g}} \propto F_x^* \frac{\partial}{\partial X} \log \det(M + XN) + \text{ordini più alti in } \frac{F}{M^2} \ll 1$$

$$m_{\tilde{f}} \propto \mathcal{O}\left(\frac{F}{M^2}\right) \Rightarrow \text{se } \frac{\partial}{\partial X}(\quad) = 0, \quad m_{\tilde{g}}/m_{\tilde{f}} \ll 1$$

[Komargodski,
Shih (2009)]

* serve che  ci siamo regioni dello PM INSTABILI

[Cheung, Fitzpatrick,
Shih (2008)]

* $\frac{\partial}{\partial X} \log \det(M+XN) \neq 0$ richiede $\det M = 0$

II^a Richiesta: vogliamo $\Theta'R$
con $\det M = 0$

TIPICAMENTE
 R (qualche campo) < 0 &

- $\det M \neq 0 \iff$ instabilità per grandi $\langle X \rangle$
- $\det M = 0 \iff$ instabilità vicino $\langle X \rangle = 0$

IL PROBLEMA DIVENTA: esistono modelli di DSB

che nell'IR è $\Theta'R$ con: I^a Richiesta?
II^a

RISPOSTA NON BANALE: sia ISS che IT-IY
nell'IR hanno $R \geq 0$ & $\det M \neq 0$!

Modello di I.T.-I.Y. e generalizzazioni [Chacko, Luty, Ponton (1998)] (1996)

$USp(N_c)$ gauge theory con $N_f = N_c + 1$ flavors $Q_{i=1, \dots, 2N_f}$
+ singoletti $S_{ij} = -S_{ji}$

$V^{ij} = Q^i Q^j$ "mesone" gauge inv, **SPAZIO DEI MODULI CLASSICO** $Pf V = 0$

$W_{tree} = \lambda S_{ij} Q^i Q^j \Rightarrow \langle Q^i \rangle = 0, \langle S_{ij} \rangle$ qualsiasi

SPAZIO DEI MODULI QUANTISTICO : $Pf V = \Lambda^{2N_f}$

incompatibile con F-terms \Rightarrow **D.S.B.**

Simmetrie di Flavor: $SU(2N_f) \longrightarrow SU(2)^{N_f}$

in un punto generico di $\{PSV = \Lambda^{2N_f}\}$

Espansione attorno a *enhanced symmetry point*: $\left\{ \begin{array}{l} V = \Lambda(V_0 J + V') \\ S = S_0 J + S' \end{array} \right\}$ $Usp(N_f)$
simmetria residua

Risolvo il constraint per V_0 all' $\mathcal{O}(V'^2)$

$$\mathcal{W}_{\text{eff}} = f S_0 + h S_0 \text{Tr} [J V' J V'] - \lambda \Lambda \text{Tr} [S' V'] + \mathcal{O}(S_0 V'^3)$$

$(f \propto \lambda \Lambda^2, h \propto \lambda)$

$X \leftrightarrow S_0, \Phi \leftrightarrow (S', V') : \mathcal{O}^R$ con $R \geq 0, \det M \neq 0$!

Ci servono modifiche

ITTY modificato

Strategia: $Usp(N_f) \times U(1)_{R \geq 0} \longrightarrow G \times U(1)_{R' \text{ qualsiasi}}$

sotto $G \subset Usp(N_f)$ $\begin{cases} V' = (V_1, \dots, V_k) \\ S' = (S_1, \dots, S_k) \end{cases}$

$$W_{\text{eff}} = \underbrace{f S_0}_{fX} + \underbrace{S_0 h C^{IJ} V_I V_J}_{\times N, \Phi, \bar{\Phi}} - \underbrace{\lambda_I \Lambda S^I V_I}_{M, \Phi^I \bar{\Phi}^I} \quad , I, J = 1, \dots, k$$

$\Rightarrow \det N = 0 \neq \det M$

(a): Aggiungo $\delta W = m_I S^{I2} \xrightarrow[\text{OUT}]{\text{INT}} \frac{\lambda_I \Lambda^2}{m_I} V_I^2$

\Rightarrow ancora $\det M \neq 0$ ma $R'(\text{qualche campo}) < 0$ ($h S_0 C^{IJ} V_I V_J$)
 $+2$ $+1 -1$

(b): Elimino ~~S^I~~ $\Rightarrow \det M = 0$ OK!

Modifiche \rightarrow tornano vuoti SUSY?

- (a) \rightarrow runaway con $S_0 \rightarrow \infty$
(b) \rightarrow runaway con $S_0 \rightarrow 0$
- } in accordo col comportamento dell' O'R

TIPICAMENTE

$R(\text{qualche campo}) < 0$ &

- $\rightarrow \det M \neq 0 \leftrightarrow$ instabilità per grandi $\langle X \rangle$
- $\rightarrow \det M = 0 \leftrightarrow$ instabilità vicino $\langle X \rangle = 0$

Per avere un esempio concreto che funzioni

- \rightarrow cosa succede nella teoria UV lungo il runaway?
- \rightarrow esiste a 1-loop un vuoto metastabile e longevo?
- \rightarrow le correzioni al Kahler sono controllabili?

Esempio: $G = SO(N_f)$

$$V' = \left(\begin{array}{c|c} V_1 & V_2 \\ \hline -V_2^T & V_3 \end{array} \right), \quad S' = \left(\begin{array}{c|c} S_1 & S_2 \\ \hline -S_2^T & S_3 \end{array} \right) \quad \left[\left(\begin{array}{c|c} \Theta & 0 \\ \hline 0 & \Theta \end{array} \right), \Theta \in SO(N_f) \right]$$

dopo qualche
modificaa

$$W_{\text{eff}} = \int S_0 - 2h S_0 V_1 V_2 - \frac{\lambda_1^2 \Lambda^2}{2m_1} V_1^2 \quad \left. \vphantom{W_{\text{eff}}} \right\} \begin{array}{l} \text{esempio pi\u00f9} \\ \text{semplice che} \\ \text{soddisfa I}^a \text{ e II}^a \end{array}$$

La direzione del runaway dell' $O'R$
\u00e9 tale che si genera un ADS nell'UV

Checks

Se $y = \frac{f h}{m_{V_2}^2} \lesssim 10^{-3}$ il CW stabilizza
lo p.m. in un vuoto \mathbb{R} , parametricamente
longevo

$$K = K_{\text{diag}} + \Lambda^2 G \left(\frac{h S_0}{\Lambda}, \frac{h^* S_0^\dagger}{\Lambda} \right) : \text{correzioni soppresse rispetto a } V_{\text{CW}} \quad \text{se } y \ll 1$$

Riassumendo

Per evitare $\frac{m_{\tilde{g}}}{m_{\tilde{f}}} \ll 1$, serve che:

I^a: il settore nascosto sia $U(1)_R$

II^a: per un $\Theta'R$ nel limite $F/M^2 \ll 1$
serve anche $\det M = 0$

Abbiamo trovato un esempio di D.S.B. che a bassa energia realizza I^a e II^a] $ITIY$ modificato con rottura esplicita
 $U_{sp}(N_f) \times U(1)_R \rightarrow G \times U(1)_R$

DA NOTARE: esempio di vuoti metastabili SUSY

in una teoria SQCD-like NON nella free-magnetic phase
(come ISS)

Possibili Sviluppi

- * Esempi con altri G , checks?
- * Costruire un modello feno di GM con questo settore nascosto (spettro? Landau poles?)
- * Trovare un esempio di DSB. in cui $U(1)_R$ sia emergente nell'IR (oltre a I^a e II^a)